

**Plasma ramp-up with high plasma-current and electron temperature by controlling of EC resonant electron-velocity space in QUEST**

出射浩<sup>1)</sup>, 恩地拓己<sup>1)</sup>, 福山雅治<sup>2)</sup>, 坂井聖也<sup>2)</sup>, 武田康佑<sup>2)</sup>, ZENNIFA Fadilla<sup>1)</sup>,  
ZHANG Yifan<sup>2)</sup>, 池添竜也<sup>1)</sup>, 福山淳<sup>3)</sup>, 小野雅之<sup>4)</sup>, 江尻晶<sup>5)</sup>, 大澤佑規<sup>5)</sup>,  
Y. Peng<sup>5)</sup>, 河野香<sup>1)</sup>, 井戸毅<sup>1)</sup>, 假家強<sup>6)</sup>, 長谷川真<sup>1)</sup>, 黒田賢剛<sup>1)</sup>, 花田和明<sup>1)</sup>,  
東島亜紀<sup>1)</sup>, 永田貴大<sup>1)</sup>, 関谷泉<sup>1)</sup>, 新谷一朗<sup>1)</sup>, 村上定義<sup>3)</sup>

H. Idei, T. Onchi, M. Fukuyama, S. Sakai, K. Takeda, F. Zennifa, Y. Zhang, R. Ikezoe *et al.*,

<sup>1)</sup>九大応力研, <sup>2)</sup>九大総理工, <sup>3)</sup>京大工, <sup>4)</sup>PPPL, <sup>5)</sup>東大新領域, <sup>6)</sup>筑波大プラセ

<sup>1)</sup>RIAM, Kyushu Univ., <sup>2)</sup>IGSES, Kyushu Univ., <sup>3)</sup>Faculty of Eng., Kyoto Univ., <sup>4)</sup>PPPL, <sup>5)</sup>Dept. Complexity Science and Eng., The Univ. of Tokyo, <sup>6)</sup>PRC, Univ. of Tsukuba

QUEST では、準光学偏波器・強集束ランチャーシステムを開発し、28GHz:Xモードの局所電子サイクロトロン加熱による斜め・準垂直入射で、高プラズマ電流・高電子温度のトカマクプラズマの立ち上げ・維持を目指している。同一の（垂直）磁場配位、ガス供給条件で、斜め入射 ( $N_{\parallel}: 0.75$ ) 時に 80 kA 程度の高プラズマ電流が立ち上がり、準垂直入射 ( $N_{\parallel}: 0.11$ ) 時は、プラズマ電流が 30 kA 程度に止まるが、第2高調波共鳴 ( $R=0.32$  m) 近くの  $R=0.34$  m で、200 eVまでバルク電子温度の上昇が観測された。斜め入射時、エネルギー弁別の硬X線計測カウントは、50 keV から 200 keV へと高いエネルギーほど時間遅れを伴って増加し、プラズマ電流のランプアップに伴う有効な高速電子生成・加熱が観測された。準垂直入射時は、100 keV 程度の硬X線計測カウントが顕著に減少する。さらなる垂直磁場、ガス供給調整で、高電子温度となる500 eV までのバルク電子加熱を達成した。

斜め入射、準垂直入射を電子の相対論的ドップラーコ鳴条件を満たす共鳴速度空間制御の観点で考察する。相対論的ドップラーシフト共鳴は以下の条件を満たす。

$$\gamma[1 - N_{\parallel}(v_{\parallel}/c)] = n f_{ce} / f, \quad \gamma = (1 + \bar{P}_{\perp}^2 + \bar{P}_{\parallel}^2)^{1/2}.$$

ドップラーシフト共鳴効果は磁場に水平方向の屈折率・電子速度成分  $N_{\parallel} \cdot v_{\parallel}$  で表される。相対論効果を示すローレンツ因子は（垂直・水平方向規格化運動量  $\bar{P}_{\perp}, \bar{P}_{\parallel}$ ）で示されている。入射  $N_{\parallel}$  は伝搬に沿って [ $N_{\parallel} R = \text{一定}$ ] で発展するとし、図1に斜め入射 ( $N_{\parallel}: 0.75$ ) 時、準垂直入射 ( $N_{\parallel}: 0.11$ ) 時の第2高調波 ( $n = 2$ ) 共鳴半径  $R$  を示す。 $[f = 2f_{ce}]$  を満たす共鳴位置

が、中心ポスト位置 ( $R=0.22$  m) から 0.1 m と近いこともあり、大きな相対論的ドップラーシフト効果から、斜め入射 ( $N_{\parallel}: 0.75$ ) 時に、駆動電流を打ち消すダウンシフト共鳴領域に比べ、電流駆動に有効なアップシフト共鳴領域が広範に現れる。高速電子成分（数%）を考慮した場合でも、第2高調波共鳴での1回通過吸収は20% 程度で、通常のFisch-Boozer 電流は大きくないが、評価された顕著なアップダウンシフト非対称性から斜め入射 ( $N_{\parallel}: 0.75$ ) 時に高効率電流駆動が見込まれる。一方、準垂直入射 ( $N_{\parallel}: 0.11$ ) 時、アップダウンシフト非対称性は大きくなく、また共鳴条件を満たす実空間領域も狭い。

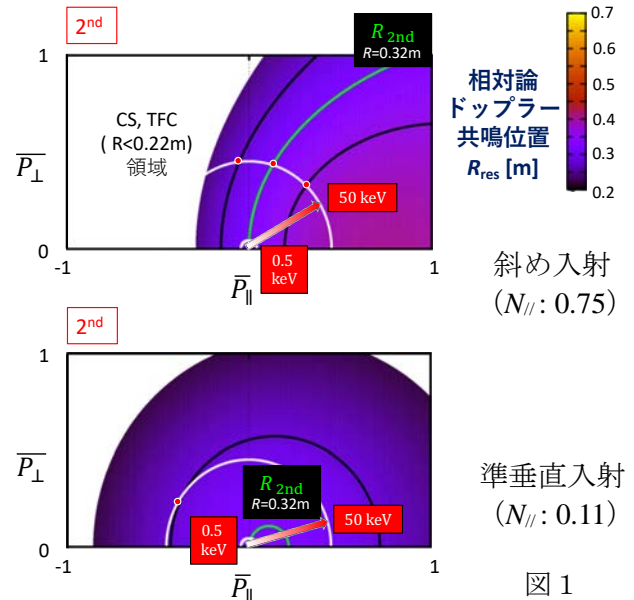


図 1

講演では高次共鳴、異なる高調波で共鳴でのダウン・アップシフト共鳴のオーバーラップを含め、相対論的ドップラーシフト共鳴加熱の速度空間での準線形拡散項評価を通じ議論する。